

로보틱 워크셀을 위한 그레픽 시뮬레이터의 구성

이상무^{**}, 이범희^{*}, 고명상^{*}, 김광배^{**}
 * 서울대학교 제어계측공학과 로보틱스 및 지능 시스템 연구실
 ** 한국과학기술원 전기 제어실

A Design of the Graphic Simulator for a Robotic Workcell

Sang Moo Lee,^{*} Bum Hee Lee,^{*} Myoung Sam Ko,^{*} Kwang Bae Kim^{**}
 * Robotics and Intelligent Systems Lab.
 Dept. of Control and Instrumentation Eng., Seoul Nat'l Univ.
 ** Power Controls Lab.
 Korea Advanced Institute of Science and Technology

Abstract

This paper presents a methodology for developing the graphic simulator for a robotic workcell. The Petri Net model is applied to described the system state and the workcell simulation is performed by the event scheduling approach of the model. For the graphic display of simulation process, the information of the workcell resources are stored in hierachically-structured data_base, and the geometry of the resources is described by robot modelling, component modelling, and world modelling.

1. 서론

새로운 생산 요구에 부응하기 위한 자동화된 작업 환경을 설계하고, 설계된 대안들 중에서 주어진 목적에 가장 적합한 작업 환경을 결정하기 위해, 시뮬레이션에 의한 시스템 성능 평가 방법이 이용되고 있다. 또한 대상 시스템을 시뮬레이션하기 위한 도구로 기존의 시뮬레이션 기능에 시스템의 상태 변화를 시작적으로 나타내는 그레픽 기능을 갖는 범용 시뮬레이션 언어가 개발되어 사용되고 있다.

본 논문에서는 그레픽 기능을 갖는 범용 시뮬레이터를 구성하기 위한 첫 단계로 모델링된 제어 로직에 의해 작업을 수행하는 조립 작업 단위에 대한 그레픽 시뮬레이터 구성에 대하여 설명한다. 조립 작업을 모델링하기 위해 페트리 네트(Petri Net) 이론이 도입되었고 시스템 동작중 발생 가능한 사건들을 처리하여 시뮬레이션을 행하는 이벤트 스케줄링(event scheduling) 방법을 이용하여 시뮬레이터를 구성하였다. 또한 작업

과정을 시작적으로 나타내기 위하여 기하학적 모델링 기능, 월드 모델링 기능 및 그레픽 디스플레이 기능 등을 갖추고 있다.

2. 시스템의 구성

본 시뮬레이터는 작업 단위에서 로보트, 콘베이어 등 재원들의 위치 변화와 로보트 축의 속도, 콘베이어 이동 속도등의 상태 변화가 작업 단위의 성능에 미치는 영향을 평가하고 그 과정을 그레픽으로 나타내기 위해 다음의 부분들로 구성되어 있다. 즉, 작업 단위내에서 재원들의 위치와 상태등을 대화식으로 받아들여 시뮬레이션하기 위한 시뮬레이션 부분, 로보트의 궤적을 계획하고 실행하기 위한 로보트 궤적 계획 부분, 작업 단위의 변화를 시작적으로 나타내기 위한 그레픽 디스플레이 부분과 그레픽을 위해 재원들의 기하학적, 기구학적 정보를 생성, 저장하는 모델링 부분으로 구성되어 있다. 그림 1은 본 시뮬레이터의 블럭 다이어그램이다.

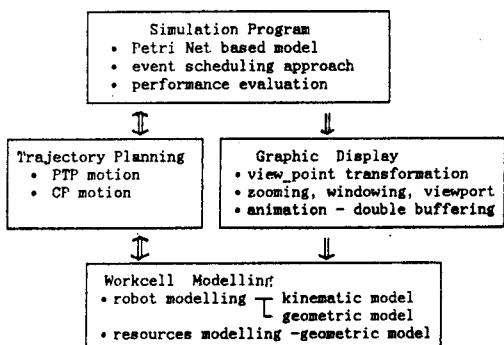


그림 1 시뮬레이터의 블럭 다이어그램

3 작업 단위 모델링

작업 단위는 여러대의 로보트와 콘베이어, 비전 센서 등으로 구성될 수 있으며 이러한 재원들은 계층적인 구조를 이루어 하나의 작업 단위를 형성한다.

3.1 로보트 모델링

로보트는 축들의 결합으로 구성되어 각 축은 축종류, 한계값, 연속적으로 연결되는 두 링크에 대한 정보를 갖는다. 각 링크는 기구학을 두는데 필요한 정보를 저장하며 링크를 이루는 요소(component)에 대한 기하학적 정보를 갖는다. 그림 2는 PUMA560 메니퓰레이터 모델링의 예이다.

3.2 요소(component)의 모델링

로보트의 링크와 그 밖의 재원들을 구성하는 요소의 3-D 모델링을 위해 각 요소를 정의하는 기준 좌표계와 기준 좌표계에 대한 점들의 좌표, 평면에 대한 정보를 저장한다. 이러한 정보는 작업 단위의 그래픽 디스플레이와 로보트와 재원들 사이의 충돌을 검증하는데 사용된다.

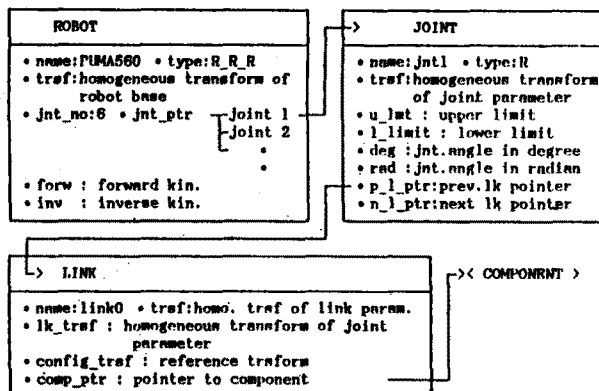


그림 2 PUMA560 메니퓰레이터의 모델링

3.3 월드 모델링

작업 단위내에서 각 재원들의 위치와 재원들사이의 상대적 위치를 모델링한다. 재차(Homogeneous) 변환으로 나타내는 좌표계사이의 관계식에 의해 작업 단위에서의 공간 구조를 모델링하여 직고 좌표계에서 로보트의 작업을 기술한다.

4 궤적 계획

로보트의 동작을 모델링하고 각 축의 속도 변화에 따른 작업 단위의 성능 변화를 효과적으로 나타내기 위하여 점간 보간, 직선 보간에 대한 궤적 계획 프로그램

을 구성하였다. 로보트 궤적 계획은 로보트 움직임을 그래픽으로 나타내기 위해서도 필요하다.

4.1 점간 보간

궤적 계획기에서 계획된 경로에 따라 시간축상의 일정 시간마다의 위치에 따른 각 축의 위치 정보를 저장한다. 또한 각 축의 위치가 정해진 범위내에서 동작하는가를 확인하고 위치 증가와 속도 증가가 한계치를 벗어나는가를 확인한다.

4.2 직선 보간

직고 좌표계에서 현재 위치와 목적 위치로부터 충간점을 구하고, 이로부터 각 축의 위치 정보를 얻는다. 각 축의 이동 거리로부터 이동 시간을 계산하여 현재 위치에서 목표 위치까지의 이동 시간을 구하고 일정시간마다의 각 축의 위치 정보를 저장한다. 그림 3은 각 축의 속도 프로파일의 한 예이다.

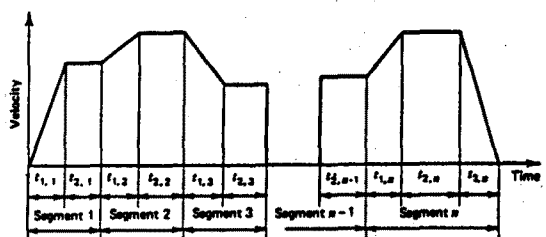


그림 3 각 축의 속도 프로파일의 예

5 작업 단위의 상태 모델 (state model)

5.1 페트리 네트

페트리 네트는 비동기적(asynchronous)이고 동시 수행적(concurrent)인 시스템의 동작을 기술하고 분석하기 위한 그래픽 모델링 도구로 시스템의 정성적 분석뿐 아니라 정량적 분석도 할 수 있는 장점이 있다. 다음에 페트리 네트(PN : Petri Net)의 정의 및 가지를 소개한다.

정의 1 : 페트리 네트는 다음의 3 요소로 이루어 진다.

$$N = (P, T, O) \text{ 여기서}$$

$$P = \{ p_1, \dots, p_n \} : n \text{ 개의 플레이스의 집합}$$

$$T = \{ t_1, \dots, t_m \} : m \text{ 개의 트랜지션의 집합}$$

$$O \subseteq (P * T) \cup (T * P) : 플레이스와 트랜지션$$

을 연결하는 아크(arc)들의 집합

정의 2 : 순수한 PN 은 다음과 같은 PN 을 말한다.

$$((p_i, t_j), (t_j, p_i)) \notin O$$

정의 3 : 플레이스들은 토큰들을 포함할 수 있다. 토큰을 갖는 PN을 표시된 PN (marked PN) 이라 한다.

정의 4 : PN의 마킹(marking)은 플레이스에 위치한 토큰의 수를 나타내는 정수 값을 갖는 칼럼 벡터이다.

$$\vec{m} = [m_1, \dots, m_n]^T \text{ 여기서 } m_i \geq 0.$$

정의 5 : $n \times n$ 인 시민스 행렬(incidence matrix)의 요소 c_{ij} 는 다음과 같이 정의된다.

$$c_{ij} = \begin{cases} -1 & \text{if } (p_i, t_j) \in \delta \\ 1 & \text{if } (t_j, p_i) \in \delta \\ 0 & \text{otherwise} \end{cases}$$

정의 6 : 다음의 관계를 만족하는 0이 아닌 토큰 벡터(row vector)를 P -인베리언트(P_invariant)라 한다.

$$\vec{y} \cdot \vec{c} = \vec{0}.$$

정의 7 : 주어진 초기 마킹 \vec{m}_0 에 대해 도달 가능한 마킹의 집합, $R(\vec{m}_0)$,은 초기 마킹 \vec{m}_0 에서 생성 가능한 마킹들의 집합을 말한다.

정의 8 : 초기 마킹 \vec{m}_0 에 대해 m_i 가 $R(\vec{m}_0)$ 의 모든 \vec{m} 에 대해 제한되어 있다면 플레이스 p_i 는 제한되어(bounded) 있다고 한다.

정의 9 : 초기 마킹 \vec{m}_0 에 대해 $R(\vec{m}_0)$ 의 모든 마킹에서 트랜지션 t_i 가 인애이블(enable)되는 마킹으로 도달하는 파이어링(firing)순서가 있으면 트랜지션 t_i 는 살아있다(live)고 한다.

5.2 조립 공정 모델링의 예

PN을 이용해 두 대의 로보트가 작업하는 조립 작업 단위(assembly cell)의 모델링 예를 보인다. 조립 작업 단위는 로보트1(R1), 로보트2(R2), 콘베이어(C), 조립 테이블(A), 파트(P), 비전(V) 등으로 구성되며 다음의 작업을 반복 수행한다.

(1) 콘베이어에 파트가 놓여지면 콘베이어는 정지한다.
(2) 콘베이어가 정지하면 비전(vision)프로세싱이 시작된다.

(3) 비전 프로세싱이 끝나면 로보트 1은 콘베이어 위의 파트를 집는다.

(4) 로보트 1은 파트를 조립 테이블 위에 놓는다.

(5) 로보트 2는 조립 테이블 위에서 조립 작업을 수행한 후 파트를 콘베이어 위에 놓는다.

위의 작업 규칙에 의한 모델은 그림4 와 같다.

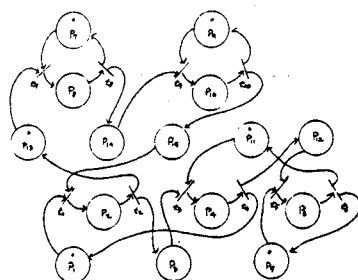


그림 4 조립 공정의 페트리 네트 모델

6 시뮬레이션 프로그램

작업 단위를 나타내는 모델은 시뮬레이션 프로그램에 의해 번역되어 실행되어진다. 모델로부터 시스템의 상태가 변함에 따라 발생하는 사건들을 모은 사건 리스트(event list)를 작성한다. 각 사건들은 규칙 계획에 의한 로보트의 이동, 콘베이어 이동에 의한 파트의 위치 변화, 비전 처리 등의 방법으로 시뮬레이션되며 이 때 정해진 시간내에서의 파트 처리 수, 로보트의 작업률 등 작업 단위의 성능 평가에 필요한 정보가 얻어진다. 그림 5는 본 시뮬레이터의 흐름도이다.

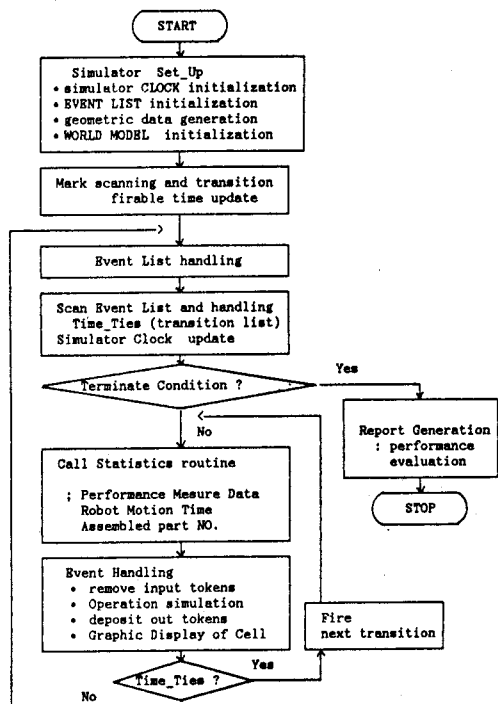
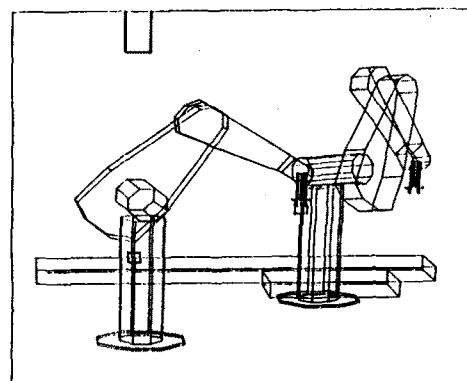


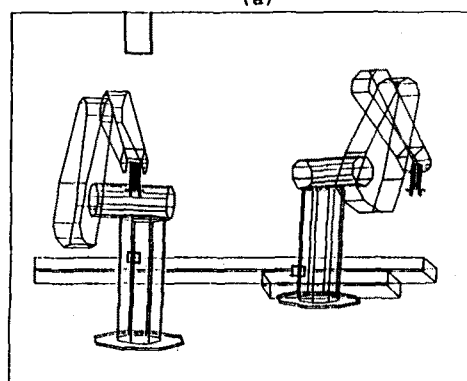
그림 5 시뮬레이터의 흐름도

7 그레픽 디스플레이

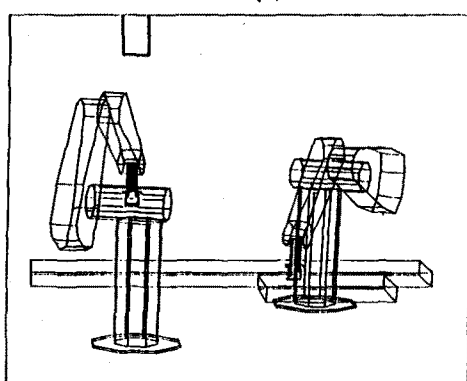
제원들의 작업 단위내에서의 위치와 초기 상태등을 대화식으로 받아들이고 그에따른 변화를 디스플레이 한다. 또한 시뮬레이션 진행 과정을 그레픽으로 나타냄으로써 작업 단위의 변화 과정을 시각적으로 나타낸다. 그림 6은 시뮬레이션 진행 과정을 디스플레이하는 한 예이다.



(a)



(b)



(c)

그림 6 시뮬레이션 과정 디스플레이

8 결론

작업 단위를 구성하는 재원들을 모델링하기 위해 기하학적 모델링 프로그램, 월드 모델링 프로그램 등을 구성하였으며 작업 단위를 모델링하기 위해 페트리 네트를 도입하였다. 작업 단위를 구성하는 재원들을 임의로 선택하여 모델링하고 대화식 방법에 의해 작업 단위를 기술하여 모델링 하는 기능에 대한 연구가 진행되면 자동화된 생산 시스템을 위한 범용 그레픽 시뮬레이터로 확장될 수 있을 것이다.

참고 문헌

1. 성광재, "로보트 시뮬레이터", 서울대학교 제어계측 공학과 특수설계 프로젝트 보고서, 1985.
2. 장원, "콤퓨터 그레픽스를 이용한 로보트 시뮬레이터의 설계", 한국 과학 기술원 석사 학위 논문, 1986.
3. B.Dombre, A.Fournier, C.Quaro, P.Borrel, "Trends in CAD/CAM Systems for Robotics," IEEE Int'l Conf. on Rob. Auto. pp1913-1918, 1986.
4. D.K.Pai, M.C.Leu, "INEFFABLE -An Environment for Interactive Computer Graphic Simulation of Robotic Application," IEEE Int'l Conf. on Rob. Auto. pp897-903, 1986.
5. D.W.Wloka, "ROBSIM - A Robot Simulation System," IEEE Int'l Conf on R & A pp 1859 - 1864, 1986.
6. T.Sata 외 2인, "Robot Simulation System as a Task -Programming Tool," 11th ISIR pp695-602, 1981.
7. Kobayashi, Modelling and Analysis , Addison - Wesley 1978..
8. R.F.Garzia, M.R.Garzia, B.P.Zeigler, "Discrete -Event Simulation," IEEE SPECTRUM pp32-36, DECEMBER 1986.
9. Wolfgang Reisig, Petri Nets : an introduction, Springer Verlag, 1985.
10. Sifakis, "Structural properties of Petri Nets", LNCS vol64., 1978.
11. M.Kamath, N.Vishwanadham , "Application of Petri Net Based Models in the Modelling and Analysis of Flexible Manufacturing Systems," IEEE Int'l Conf. on R & A pp 312-317, 1986.
12. C.L.Beck, B.H.Krogh, "Models for Simulation and Discrete Control of Manufacturing Systems," IEEE Int'l Conf. on R & A pp 305-310, 1986.
13. 황의수, 김현기, 우광방, "자동화된 생산 시스템의 유연한 제어 구조의 모델링과 시뮬레이션", 대한 전기 학회 창립 40주년 기념 학술 대회, 1987
14. B.H.Krogh, R.S.Sreenivas, "Essentially Decision Free Petri Nets for Real-time Resource allocation", IEEE Int'l Conf. on R & A, 1987.
15. Y.Kakazh 외 2인, "A Study on Cooperative Motion Simulator," 15th ISIR pp691-698, 1985.